

Geométrie des états tripartites et de l'information quantique

états : d'intrication

1) Intro sur l'intrication et l'info Q ; rapports avec la géométrie.

Qubit: $|\psi\rangle = \alpha|0\rangle + \beta|1\rangle =$ état de superposition dans \mathbb{C}^2 ; on suppose $|\alpha|^2 + |\beta|^2 = 1$ pour qu'il s'agisse de probas.

ex: H  $|\psi\rangle$
 $|0\rangle$ stable i.e. niveaux d'énergie
 $|1\rangle$ stable excité

ou $|u\rangle, |d\rangle$: polarisation du photon

- spin de l'électron : mais qu'est-ce que c'est? Juste une variable q qui n'apparaît qu'à la mesure : $|\psi\rangle = \alpha|u\rangle + \beta|d\rangle$

Il y a donc : principe de superposition, notion de mesure, l'évolution unitaire.

x "top d'info" \downarrow "info projetée" = perte d'info.

Système à 2 qubits: A, B 2 particule : $|\psi_{AB}\rangle = \alpha|00\rangle + \beta|10\rangle + \gamma|01\rangle + \delta|11\rangle$ avec $|\alpha|^2 + |\beta|^2 + |\gamma|^2 + |\delta|^2 = 1$

$$\in \mathbb{C}^2 \otimes \mathbb{C}^2 = \mathcal{H}_A \otimes \mathcal{H}_B$$

Considérons 2 états possibles : $|\psi_1\rangle = (\alpha|0\rangle + \beta|1\rangle) \otimes (c|0\rangle + d|1\rangle)$
 $|\psi_2\rangle = \frac{1}{\sqrt{2}}(|00\rangle + |11\rangle)$

Ces deux états ne sont pas équivalents : $|\psi_1\rangle$ mesuré en A donne $|0\rangle$ ou $|1\rangle$

mais on ne sait rien sur la partie B. $\mathcal{H}_A \otimes \mathcal{H}_B$ projeté sur \mathcal{H}_B

Pas contre si on mesure $|\psi_2\rangle$ en A ; si cela donne $|0\rangle$, on sait que la mesure a projeté $|\psi_2\rangle$ sur $|00\rangle$.

C'est à la base du paradoxe EPR - Podolsky - Rosen 1934

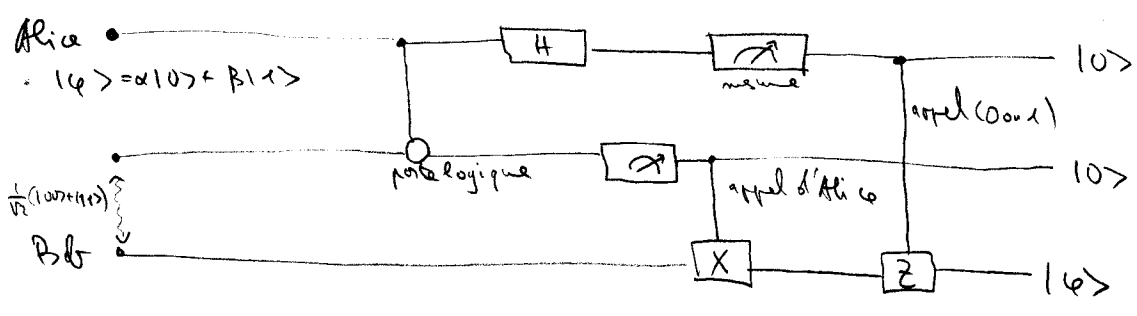
de l'inégalité de Bell (1964)

de l'expérience d'Aspect (1980)

Néanmoins certains continuent à chercher une formulation déterministe.

Mais auj. on privilégie le point de vue de non-localité

Phénomène de téléportation d'un état quantique



réalisé avec 2 photons
 X & Z : polariseurs
 porte logique :
 cablot avec 2
 lame réfléchissantes

unitaires: $X = \begin{pmatrix} 0 & 1 \\ 1 & 0 \end{pmatrix}$ $H = \begin{pmatrix} \frac{1}{\sqrt{2}} & \frac{1}{\sqrt{2}} \\ \frac{1}{\sqrt{2}} & -\frac{1}{\sqrt{2}} \end{pmatrix}$ $Z = \begin{pmatrix} 1 & 0 \\ 0 & -1 \end{pmatrix}$

	$ 00\rangle \rightarrow 00\rangle$
	$ 01\rangle \rightarrow 01\rangle$
CNOT	$ 10\rangle \rightarrow 11\rangle$
"control not" 1995	$ 11\rangle \rightarrow 10\rangle$

aussi un univers, mais agit sur les deux côtés du produit tensoriel.

$$\begin{aligned}
 & (\alpha|0\rangle + \beta|1\rangle) \otimes (|00\rangle + |11\rangle) \\
 &= \alpha|000\rangle + \alpha|011\rangle + \beta|100\rangle + \beta|111\rangle \\
 & \quad \downarrow \text{CNOT} \\
 & \alpha|000\rangle + \alpha|011\rangle + \beta|110\rangle + \beta|101\rangle \\
 & \quad \downarrow H \\
 & \left(\frac{\alpha}{\sqrt{2}}|0\rangle + \frac{\alpha}{\sqrt{2}}|1\rangle \right) |00\rangle + \left(\frac{\alpha}{\sqrt{2}}|0\rangle - \frac{\alpha}{\sqrt{2}}|1\rangle \right) |11\rangle \\
 & + \left(\frac{\beta}{\sqrt{2}}|0\rangle + \frac{\beta}{\sqrt{2}}|1\rangle \right) |10\rangle + \left(\frac{\beta}{\sqrt{2}}|0\rangle - \frac{\beta}{\sqrt{2}}|1\rangle \right) |01\rangle \\
 & \quad \downarrow Z \\
 & |10\rangle (\alpha|0\rangle + \beta|1\rangle)
 \end{aligned}$$

Dans la mesure, si cela donne 10, les 2^e et 3^e terme sont liés.

$(\text{mesure du 1^{er} bit} = |1\rangle)$

Troublant au niveau de la physique : deux appels ont fourni 2 bits classiques, et pourtant 2 nombres complexes α, β ont été transmis.

Que s'est-il passé en géométrie? $|u_1\rangle = (\alpha|0\rangle + \beta|1\rangle) \otimes (c|0\rangle + d|1\rangle)$
 $|u_2\rangle = \frac{1}{\sqrt{2}} (|00\rangle + |11\rangle)$

Notons que $\det \varphi_1 = 0$ et $\det \varphi_2 \neq 0$!

Considérons $\mathbb{C}^n \otimes \mathbb{C}^m = \mathcal{M}_n(\mathbb{C})$. Regardons-le en projectif: $\mathbb{P}^{n^2-1} = \mathbb{P}(\mathbb{C}^n \otimes \mathbb{C}^m) = \mathbb{P}(\mathcal{M}_{n \times m}(\mathbb{C}))$

On on a un plongement, dit de Segre : $Seg : \mathbb{P}^{n-1} \times \mathbb{P}^{n-1} \rightarrow \mathbb{P}^{n^2-1}$
 $([u], [v]) \mapsto [u \otimes v]$.

identification $\mathbb{P}^{n-1} \times \mathbb{P}^{n-1} \subset \mathbb{P}^{n^2-1}$. Elle est invariante sous $SL_n(\mathbb{C}) \times SL_n(\mathbb{C})$.

C'est l'orbite lisse de \mathbb{P}^{n-1} sous G dite "orbite de plus haut poids"

$\mathbb{P}^{n-1} \times \mathbb{P}^{n-1} = \mathbb{P}(\text{matrice de rang } 1) = \text{vecteur ligne} \times \text{vecteur colonne}$.

i.e., $\mathbb{P}^{n-1} \times \mathbb{P}^{n-1} = \mathbb{P}(\text{états non intriqués})$

Variétés auxiliaires :

- la variété des sécants : $X \subset \mathbb{P}^V \quad \sigma(X) = \bigcup_{x,y \in X} \mathbb{P}_{xy}^1$ 

ou $\sigma_2(X) = \bigcup_{x,y,z \in X} \mathbb{P}_{xyz}^2$

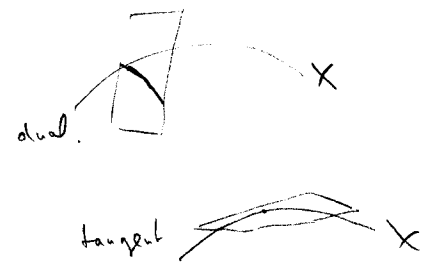
Si X est G -invariant, $\sigma(X)$ l'est aussi.

$\sigma(\mathbb{P}^{n-1} \times \mathbb{P}^{n-1}) = \mathbb{P}(\text{matrice de rang } \leq 2)$. Ainsi, ici, on stratifie les matrices selon le rang.

Si $X \subset \mathbb{P}^V$ est une variété lisse, la variété duale de X est $X^\vee = \{H \in \mathbb{P}^V : \exists x \in X, T_x X \subset H\}$

$(\mathbb{P}^{n-1} \times \mathbb{P}^{n-1})^\vee = ?$

Si $x \in \mathbb{P}^{n-1} \times \mathbb{P}^{n-1}$, $x = e_1 \otimes e_1^* = \begin{pmatrix} 1 & & & 0 \\ & \ddots & & \\ & & 1 & \\ & & & \ddots \\ & & & & 0 \end{pmatrix}$



et considérons $x(t) = e_1(t) \otimes e_1^*(t) \in \mathbb{P}^{n-1} \times \mathbb{P}^{n-1}$
 $x'(t) = e_1'(t) \otimes e_1^*(t) + e_1(t) \otimes e_1^{*'}(t)$
 $x'(0) = u \otimes e_1^* + e_1 \otimes v$

de sorte que $\bigcap_{x \in X} T_x \mathbb{P}^{n-1} \times \mathbb{P}^{n-1} = \left\{ \begin{pmatrix} * & & & \\ & \ddots & & \\ & & * & \\ & & & \ddots \\ & & & & 0 \end{pmatrix} \right\}$

$H \supset T_x \mathbb{P}^{n-1} \times \mathbb{P}^{n-1} \quad H = \begin{pmatrix} 0 & & & \\ & \overline{\quad} & & \\ & & * & \\ & & & \ddots \end{pmatrix} \quad \text{rg } H \leq n-1$
 si $\det H = 0$.

Revenons aux données : $\mathbb{P}^1 \times \mathbb{P}^1 \subset \mathbb{P}^3 = \mathbb{P}(\mathbb{C}^2 \otimes \mathbb{C}^2) \dots \sigma(\mathbb{P}^1 \times \mathbb{P}^1) = \mathbb{P}^3$
 $\sigma(\mathbb{P}^1 \times \mathbb{P}^1) \setminus \mathbb{P}^1 \times \mathbb{P}^1 = \text{états intriqués}$

et $\mathbb{P}^3 = X^\vee = \text{états intriqués}$.

Pour 3 particules: actions finies
 ≥ 4 : action infinie mais « tame »

Q: le spin = exp de Stern-Gerlach.

R: l'éche physique et math se confondent.

La notion de Qbit: édaire Bell

Systemes à 3 qubits: intrication et système tripartite

≙ Théorie de Dicke, Vidal, Cirac

th (2000 citations!) Soit $\mathcal{H} = \mathbb{C}^2 \otimes \mathbb{C}^2 \otimes \mathbb{C}^2$. Sous l'action du groupe $SL(2, \mathbb{C})$, il existe deux états totalement intriqués non équivalents dont des représentants sont

$$|GHZ\rangle = \frac{1}{\sqrt{2}} (|100\rangle + |111\rangle)$$

$$|W\rangle = \frac{1}{\sqrt{3}} (|100\rangle + |010\rangle + |001\rangle)$$

et trois états partiellement intriqués: $\frac{1}{\sqrt{2}} (|0\rangle \otimes (|100\rangle + |111\rangle), (|100\rangle + |111\rangle)|0\rangle, |100\rangle + |110\rangle$.

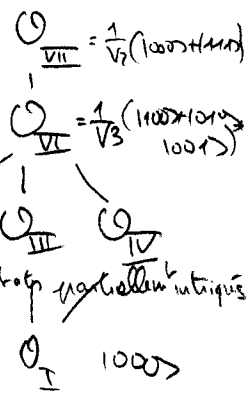
Rappel: LOCC = local operation with classical communication.

$$= U_1 \times U_2 \times U_3 \text{ (agissant séparément sur chacune des copies)}$$

SLOCC = Stochastic local ops...

$$= GL_2 \times GL_2 \times GL_2 \rightarrow \text{on modifie les probabilités sans modifier la structure}$$

→ Sous $G = GL_2 \times GL_2 \times GL_2$, il existe 7 orbites de \mathcal{H} :



1881 Le Pappé classifie les formes trilinéaires binaires en $SL_2 \times SL_2 \times SL_2$:

$$f = \sum_{0 \leq i, j, k \leq 1} a_{ijk} x_i y_j z_k, \text{ f "polynôme covariant"}$$

est invariant par une certaine forme.

1840: Cayley définit l'hyperdeterminant de format $2 \times 2 \times 2$. $\{D=0\} \rightarrow GL_2 \times GL_2 \times GL_2$ -invariant.
↳ composantes de polynôme covariant.

Début 20^e (Segre, géométrie italienne): $P^1 \times P^1 \times P^1 \subset \mathbb{B}(P^1 \times P^1 \times P^1) \subset \mathbb{C}P^7$
dualité $D=0$: variété de tangente

Théorie des invariants: ^{classique.} appliquée aux multimatrices: $\mathcal{H} = \mathbb{C}^2 \otimes \mathbb{C}^2 \otimes \mathbb{C}^2$; $A \in \mathcal{H}$,

$A =$ multimatrice $(a_{ijk}) \mapsto f = \sum_{0 \leq i, j, k \leq 1} a_{ijk} x_i y_j z_k$. On veut que $A \sim B \Rightarrow f(A) = f(B)$
pour tout

$f \in \text{Cov} =$

L'algèbre Cov est multi-gradée par les multi-degrés et

$$[\text{Cov}] = [\nu_1^* \otimes \nu_2^* \otimes \nu_3^*]$$

↑ ↑
Si on dit que l'homogénéité sur les coefficients.

$$\text{Cov}_{1,0,0,0} = \text{Inv}_f$$

1) Algorithme: Le Cayley-Omega process: $(f, g)_{i_1, \dots, i_k} = \text{tr} \Omega_{i_1} \Omega_{i_2} \dots \Omega_{i_k} f(x') \otimes g(x'')$
où $f, g \in \text{Cov}$ et $\Omega_x = \begin{vmatrix} \frac{\partial f}{\partial x_0} & \frac{\partial f}{\partial x_1} \\ \frac{\partial f}{\partial x_1} & \frac{\partial f}{\partial x_0} \end{vmatrix}$ où $\text{tr } x', x'' \rightarrow x$.

$$\begin{aligned} \text{ex } (f, f)_{\substack{0,1,1 \\ 1,1,0}} &= \text{tr} \Omega_y \Omega_z f(u', v', t') \otimes f(u'', v'', t'') \\ &= \text{tr} \Omega_y \begin{vmatrix} \frac{\partial f}{\partial z_0} & \frac{\partial f}{\partial z_1} \\ \frac{\partial f}{\partial z_1} & \frac{\partial f}{\partial z_0} \end{vmatrix} = \text{tr} \Omega_y \left(\frac{\partial f}{\partial z_0} \otimes \frac{\partial f}{\partial z_1} - \frac{\partial f}{\partial z_1} \otimes \frac{\partial f}{\partial z_0} \right) \\ &= \text{tr} \left(\begin{vmatrix} \frac{\partial^2 f}{\partial z_0^2} & \frac{\partial^2 f}{\partial z_0 \partial z_1} \\ \frac{\partial^2 f}{\partial z_0 \partial z_1} & \frac{\partial^2 f}{\partial z_1^2} \end{vmatrix} - \begin{vmatrix} \frac{\partial^2 f}{\partial z_1^2} & \frac{\partial^2 f}{\partial z_1 \partial z_0} \\ \frac{\partial^2 f}{\partial z_1 \partial z_0} & \frac{\partial^2 f}{\partial z_0^2} \end{vmatrix} \right) \\ &= \begin{vmatrix} \frac{\partial^2 f}{\partial y_0^2} & \frac{\partial^2 f}{\partial y_0 \partial z_0} \\ \frac{\partial^2 f}{\partial y_0 \partial z_0} & \frac{\partial^2 f}{\partial z_0^2} \end{vmatrix} - \begin{vmatrix} \frac{\partial^2 f}{\partial y_1^2} & \frac{\partial^2 f}{\partial y_1 \partial z_1} \\ \frac{\partial^2 f}{\partial y_1 \partial z_1} & \frac{\partial^2 f}{\partial z_1^2} \end{vmatrix} \end{aligned}$$

Il y a encore à calculer $(f, f)_{1,0,1}$, $(f, f)_{1,1,0}$, $(f, f)_{1,0,0}$, Δ
degré 2, degré 3, degré 4.

Le Paige ... l'algorithme qu'on peut calculer les générateurs de Cov à partir de f et les transvectants

Avec les ordinations, on s'est étudiés $2 \times 2 \times n$ } # fini d'orbites, structure explicite
mais pas explicite $2 \times 3 \times 3$
structure les similitudes: $\begin{cases} 3 \times 3 \times 3 \\ 2 \times 2 \times 2 \times 2 \end{cases}$: 17 0 générateurs avec ennuement de relations

3) Géométrie des variétés auxiliaires:

Rappel: $\mathbb{P}^1 \times \mathbb{P}^1 \times \mathbb{P}^1 \subset \mathbb{P}^7$ $\dim X$
{lemme de rang 1} et $\sigma(\mathbb{P}^1 \times \mathbb{P}^1 \times \mathbb{P}^1) = \mathbb{P}^7 = 3 \times 2 + 1$

$\sigma(X) = \cup_{x, y \in \mathbb{P}^1} x y$ et on s'attend à ce que $\dim = 2 \dim X + 1$.

Si c'est le cas, alors il existe $\mathcal{B}(X) \subset \mathcal{O}(X)$, "variété des tangentes" de codim 1

th (F. Zak): $Y \subset X, f(X, Y) = \bigcup_{x \in X} P_{x, Y}^1$; si $\dim f(X, Y) = \dim X + \dim Y + 1$ alors il existe $T(Y/X) \subset f(X, Y)$ codim 1

Prendons $y(t) = (10t + 11) \otimes (10t + 11) \otimes (10t + 11)$

Soit $x = 1000$: alors $\frac{y(t) - x}{t} \xrightarrow{t \rightarrow 0} (1000 + 1010) + 1000$

tenue de rang 3 obtenu comme limite de tenseurs de rang 2.

De plus $x + y(t)$ est un état GHZ

Comment peut-on mesurer l'intrication ... la géométrie des états...

4) Atlas de l'intrication (avec J.G. Luque & J.Y. Thibon)

Construire des algos à partir des covariants pour distinguer les états non équivalents c'est construire des variétés algébriques qui représentent ce état.

Nous avons traité les états $2 \times 2 \times 4$ / $2 \times 3 \times 3$ complètement (cf. transparents).

$2 \times 2 \times 2 (\mathbb{C}^2)^{\otimes 3} \neq 4$ orbites infini: $\Phi[\mathbb{C}^2]^3 = \mathbb{C}[B, L, A, D]$
deg 2 deg 4 deg 6

Imposons $B=L=A=D=0$ on obtient le sous-algèbre $\mathcal{W}^{111} \subset \mathbb{P}^{15}$

Imposons $L=A=0$ [pourquoi? on a $\mathcal{O}_3(\mathbb{P}^1 \times \mathbb{P}^1 \times \mathbb{P}^1) \subset \mathbb{P}^{15}$]

Il y a une étoile d'orbites. L'algorithme en donne certains, mais nous en connaissons que l'algore n'est pas. Il apparaît quand on ajoute à l'algo l'invariant qui est l'hyperdeterminant. Et c'est la géométrie qui nous permet de faire ces choix.

Q: Les schémas peuvent-ils être qqch?

3 fermions à 6 états: $\mathbb{P}(A^3 \mathbb{C}^6) \supset \mathcal{G}(3, 6)$ \mathcal{O}_4 ... algèbres de Lie.
3 bosons à 2 états: $\mathbb{P}(S^3 \mathbb{C}^2) \supset \mathcal{U}_3(\mathbb{P}^1)$ \mathcal{E}_0

